

Механизм формирования полостей в икосаэдрических малых металлических частицах электролитического происхождения

© И.С. Ясников

Тольяттинский государственный университет,
445667 Тольятти, Россия

E-mail: yasn@infopac.ru

(Поступила в Редакцию 3 октября 2006 г.
В окончательной редакции 9 ноября 2006 г.)

Обсуждаются вопросы формирования и устойчивости полости в икосаэдрических малых металлических частицах электролитического происхождения и приводятся экспериментальные данные, подтверждающие предлагаемые модельные результаты.

Работа поддержана Министерством образования и науки Самарской области (грант № 102E2.4 П на продолжение перспективного поискового исследования).

PACS: 36.40.-c, 61.46.+w, 81.15.Pq

1. Введение

Формирование полостей в пентагональных микрокристаллах, имеющих одну (нитевидные микрокристаллы, группа симметрии D_{5h}) или шесть (икосаэдры, группа симметрии I_h) осей симметрии пятого порядка, было теоретически предсказано исходя из дисклинационных представлений в работах [1,2]. Теоретическое обоснование наблюдавшегося нами на практике возникновения полости в нитевидных пентагональных микрокристаллах, имеющих одну ось симметрии пятого порядка и выросших до определенных размеров в процессе электрокристаллизации меди, ранее было предложено в работе [3]. При этом вопрос о возможности существования полостей в пентагональных малых частицах и микрокристаллах электролитического происхождения, имеющих шесть осей симметрии пятого порядка, оставался невыясненным, поскольку выявление полости в таких объектах требовало введения новой экспериментальной методики. Если в нитевидных микрокристаллах, имеющих одну ось симметрии пятого порядка, полость выходит на поверхность кристалла и может наблюдаться с помощью средств электронной микроскопии, то выявление полости в малых частицах и микрокристаллах, имеющих шесть осей симметрии пятого порядка, требовало разрушающих методов контроля.

В работе [4] были представлены результаты экспериментов по выявлению полостей в икосаэдрических малых частицах (ИМЧ) меди электролитического происхождения и предлагалось теоретическое обоснование выбранной экспериментальной методики. Однако механизм образования полости и характер ее устойчивости в процессе эволюции ИМЧ остались дискуссионными. В настоящей работе предлагается к обсуждению одна из возможных моделей, описывающих механизм образования полости в процессе эволюции ИМЧ.

2. Обоснование предлагаемой теоретической модели

В процессе анализа экспериментальных данных по электроосаждению меди ранее нами была предложена модель, которая основывалась на предположении, что строение, размеры, форма и сценарии развития пентагональных кристаллов определяются особенностью процессов массо- и теплообмена, протекающих в островках роста, образующихся на начальных стадиях электрокристаллизации меди [5]. При этом, в частности, было показано, что при любом режиме электроосаждения температура в растущем островке в определенном диапазоне размеров островка резко возрастает и может превысить температуру плавления. Данный факт был доказан нами экспериментально [6]. Это означает, что островок в процессе эволюции может находиться в высокотемпературном жидкофазном состоянии, причем оценки, основанные на решении кинетических уравнений эволюции островка, показывают, что время существования такой фазы $\tau_H \sim 10^{-3} - 10^{-1}$ s.

В свою очередь, при переходе ИМЧ в высокотемпературное состояние с сохранением в центре высокоэнергетичного дефекта дисклинационного типа энергетически выгодно образование полости внутри ИМЧ [2]. При этом давление, обусловленное дефектом дисклинационного типа, начинает „расталкивать“ металлическую высокотемпературную фазу от центра ИМЧ к ее периферии. Для оценки времени формирования полости можно воспользоваться решением известной задачи механики сплошных сред для несжимаемой жидкости, заполняющей все пространство. Если из такой жидкости внезапно удалить сферический объем радиуса a , то время, в течение которого образованная полость заполнится жидкостью, определится

формулой [7].

$$\tau = \sqrt{\frac{3a^2\rho\pi}{2p_0} \frac{\Gamma(5/6)}{\Gamma(1/3)}} \approx a\sqrt{\frac{\rho}{p_0}}, \quad (1)$$

где ρ — плотность жидкости, p_0 — давление в ней.

Решение данной задачи допускает обратимость во времени, т.е. если дефект дисклинационного типа создает в центре ИМЧ давление p_0 и „расталкивает“ металлическую высокотемпературную фазу от центра ИМЧ к ее периферии, то при плотности высокотемпературной фазы ρ полость радиуса a образуется за время τ_V , которое в рамках выбранного приближения несжимаемой жидкости также можно оценить по формуле (1). Оценки для меди ($p_0 \sim 10^8$ Па, $\rho = 8360$ кг/м³) показывают, что полость радиуса $a \sim 100$ нм способна образоваться за время $\tau_H \sim 10^{-9}$ с. Таким образом, время формирования полости в ИМЧ много меньше времени пребывания ИМЧ в высокотемпературном состоянии $\tau_H \ll \tau_V$, что делает обоснованными дальнейшие рассуждения.

3. Теоретическая модель

Если R_{in} — радиус ИМЧ в высокотемпературном состоянии, при котором началось формирование полости, то в процессе дальнейшей эволюции внутренний радиус полости ИМЧ R_0 и внешний радиус ИМЧ R_1 в силу несжимаемости высокотемпературной фазы будут связаны соотношением, описывающим сохранение объема,

$$\frac{4}{3}\pi R_{in}^3 = \frac{4}{3}\pi R_1^3 - \frac{4}{3}\pi R_0^3 \quad \text{или} \quad R_{in}^3 = R_1^3 - R_0^3. \quad (2)$$

Полная упругая энергия ИМЧ с полостью внутри определяется формулой [2]

$$E_{ISP} = 4\pi\gamma(R_0^2 + R_1^2) + \frac{8\pi G\kappa^2(1+\nu)}{27(1-\nu)} \left(R_1^3 - R_0^3 - \frac{9R_0^3R_1^3}{R_1^3 - R_0^3} \left(\ln \frac{R_0}{R_1} \right)^2 \right), \quad (3)$$

где R_0 — радиус полости в ИМЧ, R_1 — внешний радиус ИМЧ, G — модуль Юнга, γ — поверхностная энергия ИМЧ (оценивается как $0.1Ga$, где a — параметр решетки), κ — мощность дисклинации Маркса–Иоффе ($\kappa = 0.12$), ν — коэффициент Пуассона (для меди $G = 4.9 \cdot 10^{10}$ Н/м², $a = 3.6 \cdot 10^{-10}$ м, $\nu = 0.34$).

Введем параметр $\eta = R_0/R_{in}$, тогда с учетом сохранения объема (2) полная упругая энергия ИМЧ (3) преобразуется к виду

$$E_{ISP} = 4\pi GR_{in}^2 U_{ISP}(\eta),$$

где

$$U_{ISP}(\eta) = \frac{a}{10} \left(\eta^2 + (1 + \eta^3)^{\frac{2}{3}} \right) + \frac{2}{27} \frac{1+\nu}{1-\nu} \kappa^2 R_{in} \left(1 - \eta^3(1 + \eta^3) \ln^2 \frac{1 + \eta^3}{\eta^3} \right). \quad (4)$$

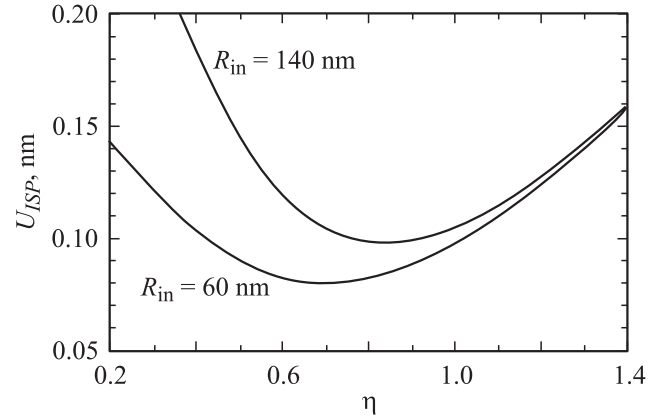


Рис. 1. Графики зависимостей $U_{ISP}(\eta)$ при значениях параметра R_{in} , равных 60 и 140 нм. $\eta = R_0/R_{in}$ — безразмерный параметр, R_0 — текущий радиус полости в ИМЧ, R_{in} — радиус ИМЧ, при котором началось формирование полости, U_{ISP} — функция, определяющая поведение потенциальной энергии упругих напряжений, связанных с дефектом дисклинационного типа в ИМЧ (см. (4)).

Поведение потенциальной энергии упругих напряжений, связанных с дефектом дисклинационного типа в ИМЧ, определяется поведением функции $U_{ISP}(\eta)$. Исследование функции $U_{ISP}(\eta)$ показало, что при любом значении параметра R_{in} существует отличная от нуля точка η_0 , в которой выполняются условия

$$\frac{dU_{ISP}(\eta_0)}{d\eta} = 0, \quad \frac{d^2U_{ISP}(\eta_0)}{d\eta^2} > 0. \quad (5)$$

Это означает, что состояние ИМЧ, описываемое параметром η_0 , является состоянием устойчивого равновесия. В качестве примера на рис. 1 приведены графики функций $U_{ISP}(\eta)$ при двух различных значениях параметра R_{in} . Если „расталкивание“ высокотемпературной фазы к периферии началось при размере ИМЧ, равном R_{in} , то при значении внутреннего радиуса полости $R_0^{fin} = R_{in}\eta_0$ и внешнего радиуса ИМЧ $R_1^{fin} = R_{in}\sqrt{1 + \eta_0^3}$ система попадает в состояние устойчивого равновесия и, следовательно, размер полости далее не меняется.

По результатам численного решения уравнения (5) была получена зависимость параметра η_0 от R_{in} , представленная на рис. 2. Это в свою очередь позволило определить зависимости внутреннего R_0^{fin} и внешнего R_1^{fin} радиуса ИМЧ, которые реализуются в состоянии устойчивого равновесия, от размера ИМЧ R_{in} , при котором начинается процесс формирования полости. Соответствующие графики $R_0^{fin}(R_{in})$ и $R_1^{fin}(R_{in})$ приведены на рис. 3.

Условие (5) является необходимым, но недостаточным условием состояния устойчивого равновесия ИМЧ с полостью внутри. В работе [4] было показано, что давление на внутреннюю поверхность полости, обусловленное полями упругих напряжений, связанных с

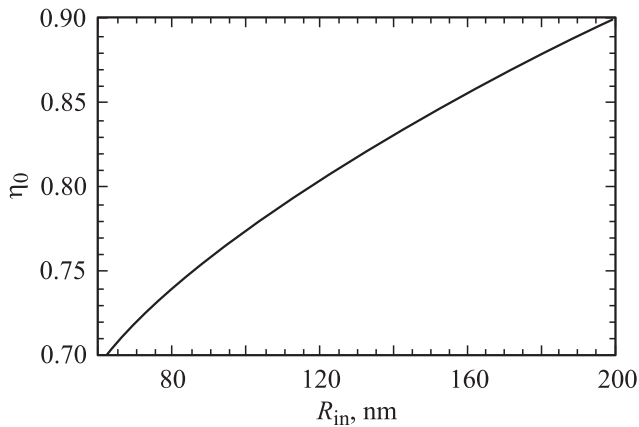


Рис. 2. График зависимости $\eta_0(R_{in})$. η_0 — безразмерный параметр, определяющий состояние устойчивого равновесия ИМЧ после образования полости.

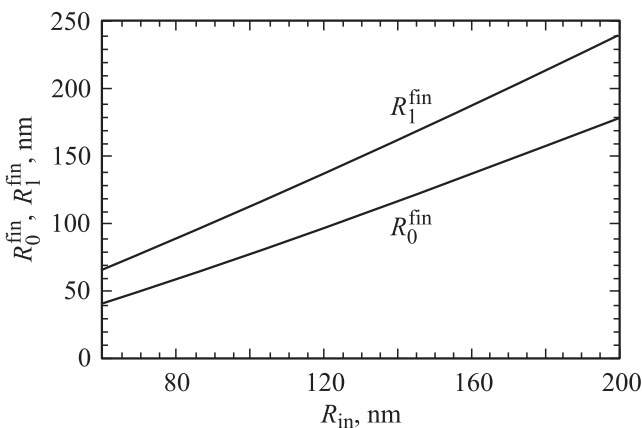


Рис. 3. Графики зависимостей $R_0^{fin}(R_{in})$ и $R_1^{fin}(R_{in})$. R_0^{fin} и R_1^{fin} — соответственно радиус полости и внешний радиус ИМЧ, которые реализуются в состоянии устойчивого равновесия.

поверхностной энергией и дефектом дисклинационного типа в ИМЧ, определяется формулой:

$$P_{ISP} = \frac{3Ga(a + \xi^2)}{10R_1(1 - \xi^3)} + \frac{2G\kappa^2(1 + \nu)}{9(1 - \nu)} \left(1 - \frac{9\xi^3 \ln^2 \xi}{(1 - \xi^3)^2} \right), \quad (6)$$

где $\xi = R_0/R_1$ — безразмерный параметр полости ИМЧ (R_0 — радиус полости в ИМЧ, R_1 — внешний радиус ИМЧ).

При этом предельное значение давления P_{ISP} , которое еще не приводит к разрушению ИМЧ, определяется зависимостью [4]

$$P_{max} = 2\sigma(1 - \xi), \quad (7)$$

где σ — предел прочности материала сферической оболочки (для меди $\sigma = 2.2 \cdot 10^8 \text{ N/m}^2$).

Таким образом, если $P_{ISP} \geq P_{max}$, то давление, обусловленное полями упругих напряжений, связанными с

поверхностной энергией и дефектом дисклинационного типа, приводит к разрушению полый ИМЧ. Данное условие позволило определить зависимость максимального значения параметра полости ξ^{max} , при котором ИМЧ еще не разрушается, от размера ИМЧ R_{in} , при котором начинается процесс формирования полости. Графики зависимостей параметра полости $\xi^{fin} = R_0^{fin}/R_1^{fin}$, соответствующие состоянию устойчивого равновесия ИМЧ с полостью внутри, и ξ^{max} , соответствующие предельному значению механических напряжений в ИМЧ, еще не приводящему к ее разрушению, от размера ИМЧ R_{in} , при котором начинается процесс формирования полости, приведены на рис. 4.

Из рис. 4 видно, что графики зависимостей $\xi^{max}(R_{in})$ и $\xi^{fin}(R_{in})$ пересекаются в некоторой точке с абсциссой $R_{in}^* \approx 100 \text{ nm}$, причем при $R_{in} < R_{in}^*$ имеет место строгое неравенство $\xi^{fin}(R_{in}) > \xi^{max}(R_{in})$. Это означает, что если малая частица в начальный момент образования полости имеет размер менее R_{in}^* , то в процессе эволюции полости к равновесному состоянию оболочка частицы станет настолько тонкой, что будет превышен предел прочности материала на разрыв. При этом произойдет переход малая частица — микросталл, не содержащий дефекта дисклинационного типа, сопровождающийся разрушением пентагональной симметрии.

Если же $R_{in} > R_{in}^*$, то $\xi^{fin}(R_{in}) < \xi^{max}(R_{in})$, и в этом случае эволюция полости к равновесному состоянию не приведет к возникновению в оболочке упругих напряжений, превышающих предел прочности материала на разрыв, и будет достигнуто состояние, отвечающее положению устойчивого равновесия. Это означает, что формирование устойчивой полости в ИМЧ может происходить только в случае, если к моменту начала ее формирования ИМЧ достигла размеров $\sim 0.1 \mu\text{m}$.

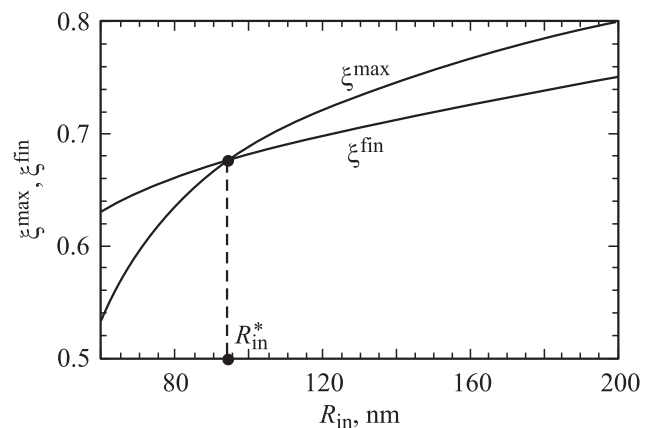


Рис. 4. Графики зависимостей $\xi^{max}(R_{in})$ и $\xi^{fin}(R_{in})$. $\xi = R_0/R_1$ — безразмерный параметр полости ИМЧ, R_0 — радиус полости в ИМЧ, R_1 — внешний радиус ИМЧ, ξ^{max} — максимальное значение параметра полости, при котором ИМЧ еще не разрушается, $\xi^{fin} = R_0^{fin}/R_1^{fin}$ — параметр полости, соответствующий состоянию устойчивого равновесия ИМЧ.

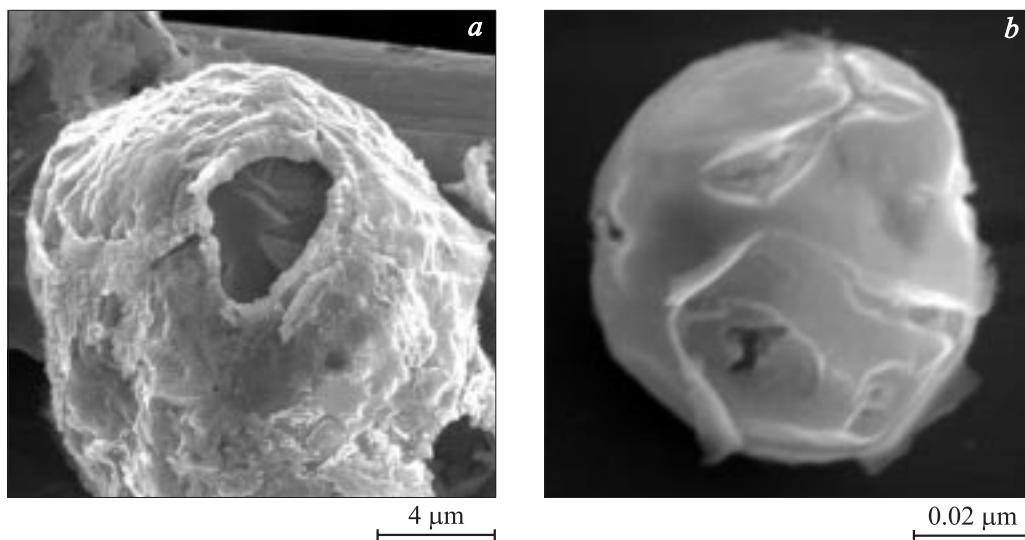


Рис. 5. Электронно-микроскопические изображения малых частиц с полостью (*a*) и без полости внутри (*b*) после химического травления их поверхности.

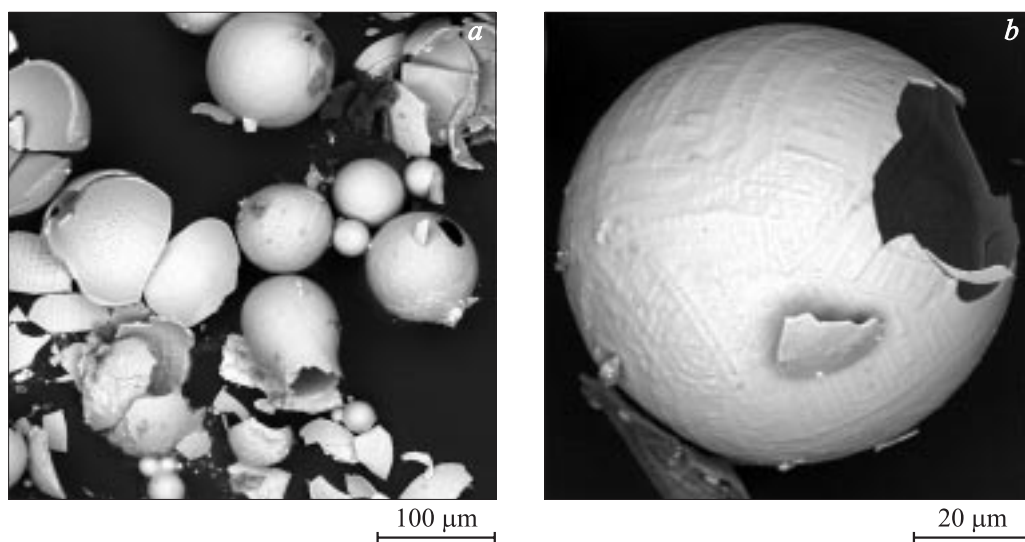


Рис. 6. Электронно-микроскопические изображения частиц сварочного шлака (*a*) и сферической частицы из него с полостью внутри (*b*).

4. Сравнение результатов теоретической модели с экспериментальными данными

Основные результаты модели были продемонстрированы экспериментально. Морфология электролитического осадка меди, содержащего ИМЧ, исследовалась с помощью сканирующего электронного микроскопа LEO 1455 VP после процедуры химического травления осадка, описанной в работе [1]. При этом вскрытия оболочек малых частиц, свидетельствующие о наличии в них полости, были выявлены только для частиц размером более $0.1 \mu\text{m}$ (рис. 5, *a*). При травлении частиц

размером менее $0.1 \mu\text{m}$ вскрытия оболочек выявлено не было, что свидетельствует об отсутствии полости внутри (рис. 5, *b*).

5. Заключение

Проведенные исследования позволяют утверждать, что для образования полости в ИМЧ достаточно, варьируя условия теплообмена в ИМЧ, достичь высокотемпературного жидкофазного состояния, которое будет способствовать „расталкиванию“ высокотемпературной металлической фазы от центра частицы к периферии под действием давления, обусловленного наличием в

центре ИМЧ дефекта дисклинационного типа. При этом устойчивое равновесие сформировавшейся полости возможно лишь для ИМЧ, в которых формирование полости началось при размерах более $0.1 \mu\text{m}$.

В качестве дополнения можно отметить, что высокотемпературное жидкофазное состояние малой частицы и наличие высокого давления в центре, создаваемое дефектом без уточнения его природы, являются необходимыми условиями формирования в ней полости. Например, кратковременный перевод в высокотемпературное состояние малой металлической частицы (брызги металла при сварке) и наличие дефекта, способного создать давления, „расталкивающего“ металл в радиальном направлении к периферии (например, пузырек горячего воздуха в капле такого расплавленного металла) также могут приводить к образованию полости. Данный пример иллюстрируется рис. 6, где представлены электронно-микроскопические изображения частиц сварочного шлака (рис. 6, *a*), а также сферической частицы из него с полостью внутри (рис. 6, *b*).

Автор выражает свою искреннюю признательность А.А. Викарчуку за плодотворные дискуссии при обсуждении полученных результатов.

Список литературы

- [1] В.И. Владимиров, А.Е. Романов. Дисклинации в кристаллах. Наука, Л. (1986). 224 с.
- [2] A.E. Romanov, I.A. Polonsky, V.G. Gryaznov, S.A. Nepijko, T. Junghanns, N.J. Vitrykhovski. *J. Cryst. Growth* **129**, 691 (1993).
- [3] И.С. Ясников, А.А. Викарчук. *ФТТ* **48**, 1352 (2006).
- [4] И.С. Ясников, А.А. Викарчук. *Письма в ЖЭТФ* **83**, 46 (2006).
- [5] А.А. Викарчук, И.С. Ясников. *ФТТ* **48**, 536 (2006).
- [6] И.С. Ясников, А.А. Викарчук. *Письма в ЖТФ* **32**, 1 (2006).
- [7] Л.Д. Ландау, Е.М. Лифшиц. Теоретическая физика. Т. VI. Гидродинамика. Физматлит, М. (2001). 736 с.